

2023 名校高考全真模拟试题(二)

2021 年 10 月 18 日,北京冬奥会火种在奥林匹克运动的发祥地——希腊伯罗奔尼撒半岛的古奥林匹亚采集成功。在有着两千多年历史的赫拉神庙遗址前,奥运火种再次为北京点燃。右图深色部分为伯罗奔尼撒半岛。据此完成 1~3 题。



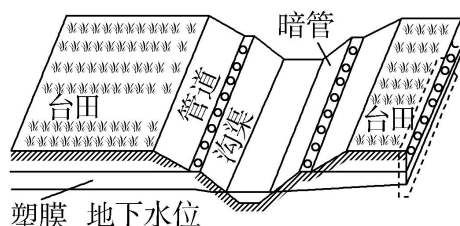
- 有关伯罗奔尼撒半岛叙述正确的是()
 - 周围海域辽阔,属温带海洋性气候
 - 葡萄种植业发达,并有油橄榄、小麦、稻、玉米、棉花等
 - 半岛上有丰富的历史典故和古迹,还有最早的奥林匹克公园
 - 半岛上的亚哥里斯平原湿润肥沃,生长着茂密的原始森林
- 伯罗奔尼撒的酿酒历史据说可以追溯到 7 000 年以前,影响这里酿酒业发达的因素是()

A. 气候 B. 水源 C. 原料 D. 燃料

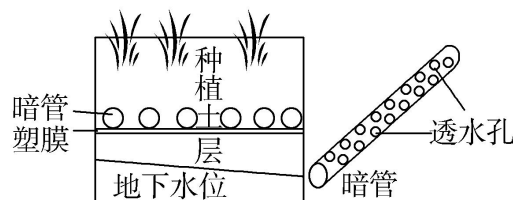
3. 北京冬奥会火种在奥林匹克运动的发祥地——希腊伯罗奔尼撒半岛的古奥林匹亚采集成功后,运送回国的方式是()

A. 远洋运输 B. 中欧班列 C. 顺丰快递 D. 航空运输

“上农下渔”的台田模式是一种由台田、排水沟道与鱼塘等其他农业生长机制共同构成的农业种植模式。图甲是我国华北平原的台田种植模式图,图乙为图甲虚线部分的放大图。读图,完成 4~6 题。



图甲

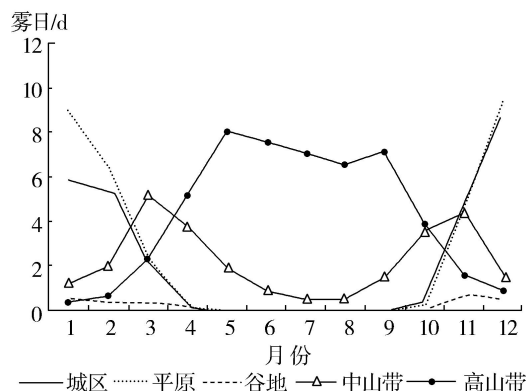


图乙

- 该地台田种植的主要粮食作物是()
 - 水稻 B. 棉花 C. 春小麦 D. 冬小麦
- 图中暗管塑膜工程的主要作用是()
 - 缓解水土流失 B. 减轻土地盐碱化 C. 减轻旱涝灾害 D. 实施跨区域调水
- “上农下渔”的台田模式可以()
 - 增加植株种植密度 B. 增加该区域水资源 C. 有效改善生产环境 D. 降低农业生产成本

雾是近地面的水汽过饱和和后凝结(或凝华)成微小的水滴(或冰晶)并悬浮在空气中的一种天气现象。下图示意 1961~2018 年乌鲁木齐不同海拔高度区域雾日的月际变化。据此完成 7~8 题。

站点	代表气候分区	海拔/m
市气象站	城区	936
达坂城	谷地	1 103.5
小渠子	中山带	871.8
大西沟	高山带	3 543.8



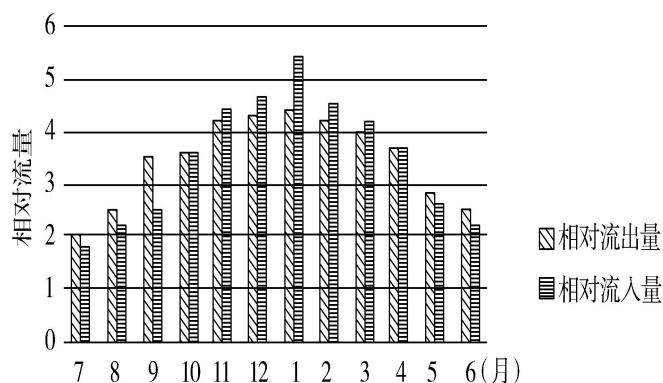
7. 下列关于乌鲁木齐不同海拔高度区域年雾日总数排列正确的是()

- 平原>高山带>城区>中山带>谷地
- 平原>城区>高山带>中山带>谷地
- 高山带>平原>城区>中山带>谷地
- 高山带>中山带>平原>城区>谷地

8. 下列关于乌鲁木齐不同海拔高度区域雾日月际变化的成因叙述正确的是()

- A. 城区受人类活动影响, 冬季雾日天数多 B. 谷地风力强劲, 全年雾日少
C. 平原冬季大气逆辐射强, 雾日多 D. 高山带夏季空气湿润, 雾日多

湖泊水位与湖泊的水量收支密切相关。北半球某湖泊主要的补给水源为雨水和流域内河流水。右图为该湖泊多年平均相对流量进出情况统计图。据此完成 9~11 题。



9. 图示湖泊最低水位出现在()

- A. 7月 B. 10月 C. 1月 D. 4月

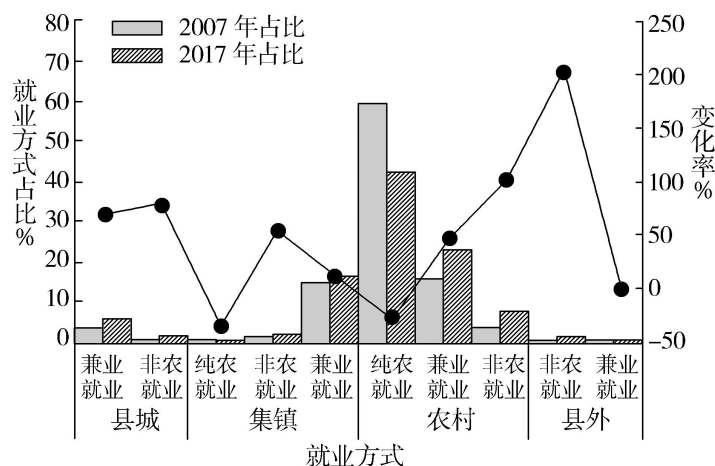
10. 推测该湖泊为()

- A. 构造湖 B. 冰川湖
C. 淡水湖 D. 咸水湖

11. 该湖泊可能位于()

- A. 地中海沿岸 B. 智利沿海
C. 新西兰北岛 D. 日本群岛

农村就业及其空间变迁研究对乡村振兴战略的实施具有重要意义。下图为江汉平原某县常住农户 2007 年和 2017 年不同就业方式农户占比及变化率, 就业区域划分为县城城区、集镇镇区、农村、县外四类。据此完成 12~14 题。



12. 2017 年该县农户不在农村的主要就业方式为()

- A. 纯农就业 B. 兼业就业 C. 非农就业 D. 待业状态

13. 下面关于该县农村农户就业方式影响因素的叙述, 错误的是()

- A. 户主年龄越老, 劳动力越倾向农村纯农就业
B. 家庭负担越重, 劳动力越倾向兼业或非农就业
C. 所在镇工业水平越低, 劳动力越倾向农村纯农就业
D. 距离镇中心越远, 劳动力越倾向兼业或非农就业

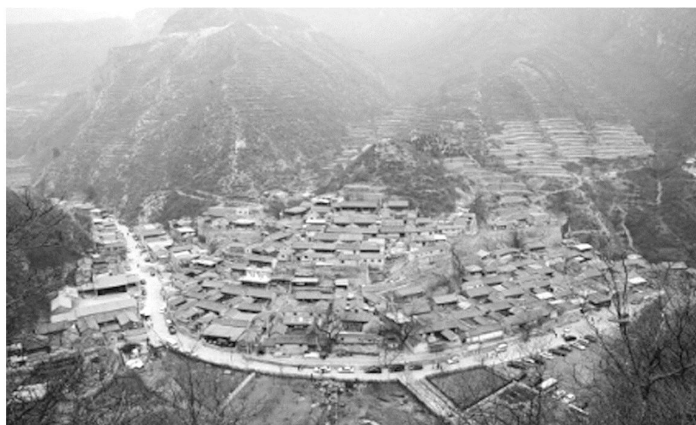
14. 面对就业风险与不稳定, 农户的就业方式容易转化为()

- A. 县外非农就业 B. 县城兼业就业 C. 集镇兼业就业 D. 农村纯农就业

爨底下村(右图), 位于北京市门头沟区西郊石灰岩峡谷中, 因该村附近高地有“口小肚大”形如土灶的水潭而得名。该村海拔 650 米, 依山而建, 高低错落, 呈扇面形沿河流阶地展开, 建筑融合了北京四合院和晋中四合院的主要特征, 成为我国当代北方传统合院民居的典型代表, 2012 年被列入中国第一批传统村落名录。近年来, 随着乡村旅游业的发展, 传统村落的空间结构不断受到冲击。据此完成 15~17 题。

15. 水潭呈现“口小肚大”形态的主要成因是()

- A. 断裂下陷 B. 地下水出露
C. 地壳抬升 D. 流水溶蚀



16. 爨底下村聚落()

- A. 房屋坐北朝南, 利于冬夏季节采光通风
B. 依山就势合院式布局, 利于抵挡外族入侵
C. 位于河流阶地, 便于取水和建造房屋
D. 随时代发展, 集市、水井等公共空间扩大

17. 2013 年该村常住人口数量达到历史峰值, 原因最可能是()

- A. 人口自然增长快
B. 外来人口迁入
C. 养老基础设施完善
D. 村民返乡回流

玉龙雪山冰川公园观景栈道位于 27°N , 海拔约 4 600m, 地处雪线附近。栈道悬空架设, 全长约 500m。下图示意 2021 年 4 月初在玉龙雪山冰川公园观景栈道拍摄的景观。据此完成 18~19 题。



18. 图示景观范围内的积雪厚度差异主要取决于()

- A. 海拔
B. 土质
C. 坡向
D. 坡度

19. 若拍摄者 7 月初同一时间再次来到观景栈道, 最有可能发现()

- A. 太阳高度角变小
B. 积雪覆盖增多
C. 大气能见度降低
D. 日落方向偏南

右图为某日东亚海平面部分等压线及风向示意图,

①②③④为气压中心。据此完成 20~22 题。

20. 判断图中的气压中心()

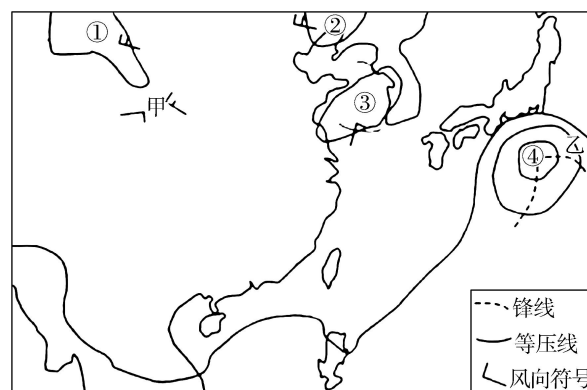
- A. ①—低压中心
B. ②—高压中心
C. ③—反气旋
D. ④—反气旋

21. 关于甲、乙两地此时的天气状况, 正确的是()

- A. 甲地晴朗微风
B. 乙地暴雨大风
C. 甲地阴雨连绵
D. 乙地气温骤降

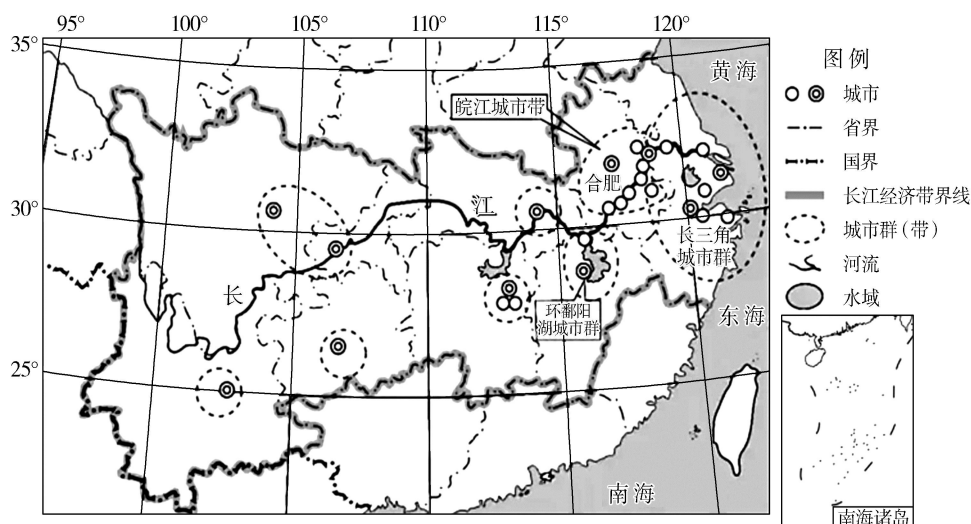
22. 绘制该图, 主要运用的地理信息技术是()

- A. RS
B. GPS
C. GIS
D. 数字地球



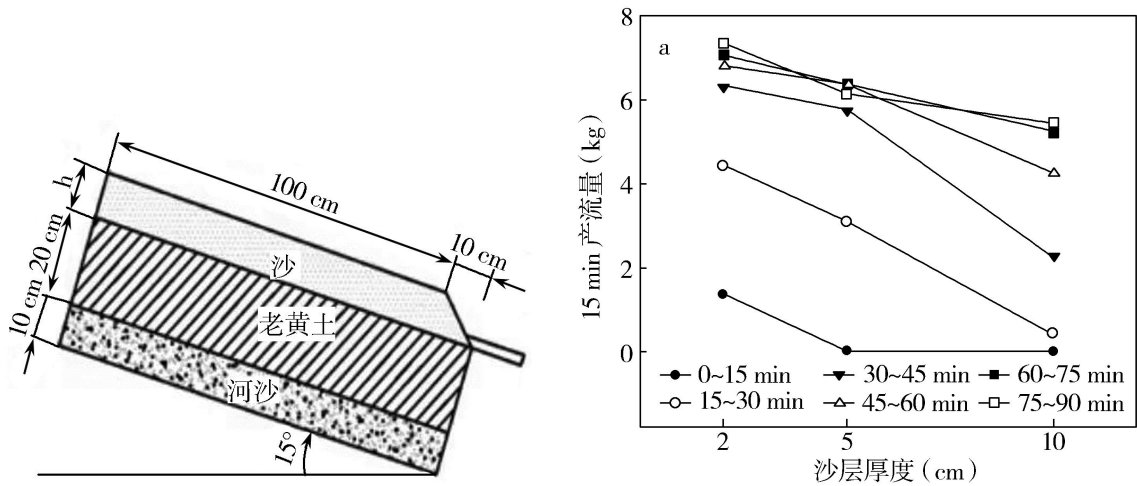
23. (20 分)阅读图文资料, 完成下列要求。

皖江城市带承东启西、连南接北。区域内长江水道、快速铁路、高速公路综合交通体系比较完善, 它既是长三角产业发展的重要组成部分, 又是长三角城镇体系的延伸和补充, 也是长江经济带中发达地区进一步扩张延伸与带动发展的纽带。东部地区加快产业转型与升级, 特别是以上海为中心的长三角加快建设国际金融中心、国际航运中心等, 大力发展现代服务业和高技术产业, 对外来劳动力的需求将大大减少。皖江城市带是国家扩大内需、解决就业的重要载体。右图示意皖江城市带在长江经济带中的位置。



- (1) 与环鄱阳湖城市群相比，说明皖江城市带发展的优势。(8 分)
- (2) 与长三角城市群相比，分析皖江城市带发展的优势。(6 分)
- (3) 推测皖江城市带产业结构未来可能发生的变化。(6 分)

24.陕西省神木县六道沟流域地处黄土高原水蚀风蚀交错区，具有典型的沙土二元结构坡面。某研究组建造模型(左图)研究当地不同降雨历时条件下，沙层厚度和粒径组成对坡面产流时间、产流量和产沙量变化。黄土主要由粘粒和粉粒组成，黏性比砂粒大；坡面径流包括地表与地下径流，砂粒粒径大，利于沙土界面流的形成。右图示意沙层厚度对不同降雨时段 15 min 产流量的主效应图。



- (1) 六道沟流域风蚀与水蚀交错进行，分别指出当地风蚀和水蚀的主要季节。(4 分)
- (2) 说明不同降雨时段与沙层厚度条件下与产流量的变化特征。(6 分)
- (3) 研究发现，降雨中前期薄覆沙坡面不同时段产沙量及不同历时总产沙量都大于厚覆沙坡面，而在降雨后期则相反。请解释原因。(8 分)
- (4)从沙层厚度与粒径组成方面分析退耕还林还草生态工程对覆沙黄土坡面产流产沙变化的影响。(6 分)